

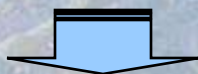
Membránová separace aktivovaného kalu

**Markéta Dvořáková,
Jan Bindzar,
Iveta Růžičková
&
Martin Pečenka**

VYSOKÁ ŠKOLA CHEMICKO - TECHNOLOGICKÁ
V PRAZE
ÚSTAV TECHNOLOGIE VODY A PROSTŘEDÍ



Klasické ČOV



separace AK v dosazovacích nádržích



- o značné nároky na prostor
- o vliv vlastností AK na separaci
- o složitost provozu
- o 10 - 15 mg/l NL v odtoku
- o přítomnost patogenních (podmíněně patogenních) mo
- o nevhodnost odtoku ke zpětnému využití



zdokonalování × **alternativní technologie**



ČOV s MBR technologií



separace AK filtrací přes porézní
přepážku (= membrána)



Princip mbr technologie



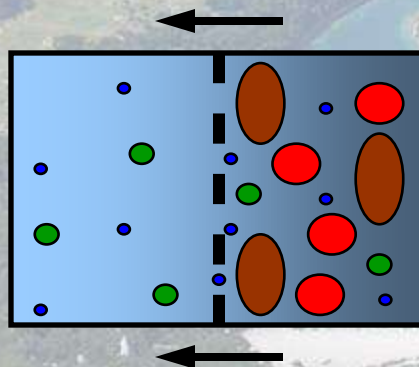
• póry v membráně

- **fyzická bariéra** → zachycené látky se teplotně, biologicky ani chemicky nemění + nevznikají nebezpečné látky
- **záchyt částic o rozměrech > rozměr pórů**
- na ČOV membrány **mikro-** a **ultrafiltrační** (póry: 0,01 - 10 μm)
- **filtrace na přepážce** s prvky filtrace objemové

• ~~organické makromolekuly~~

• ~~bakterie, koloidy, červené krvinky~~

• ~~písek, vlasy, pyl, zákal, barva~~



• organické makromolekuly

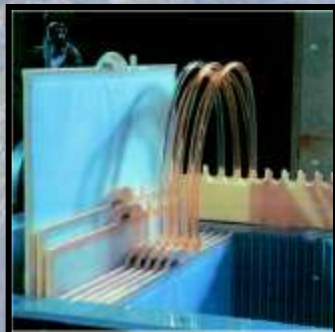
• bakterie, koloidy, červené krvinky

• písek, vlasy, pyl, zákal, barva



Konstrukční možnosti mbr

- mbr modul z dutých vláken



- deskový mbr modul



Využití mbr v praxi



• ČOV Knautnaundorf, 2001



• výletní loď MV "RheinEnergie", 2004

- ✓ **provoz ČOV ve specifických podmínkách** (velké námořní lodě, infekční provozy nemocnic, atd.)
- ✓ **pokud máme možnost využívat i permeát** (závlahy, mytí, krajnotvorné účely, atd.) - takto vyčištěnou vodu nemá smysl vypouštět do recipientu
- ✓ **čištění OV z potravního průmyslu a městských splašků tam, kde hrozí riziko bytí AK**



Využití mbr v praxi



• Hohtaelli- horské lyžařské středisko, 3286 m.n.m, 2004

• Hotel “Schwaegalp”, Švýcarsko, 2002

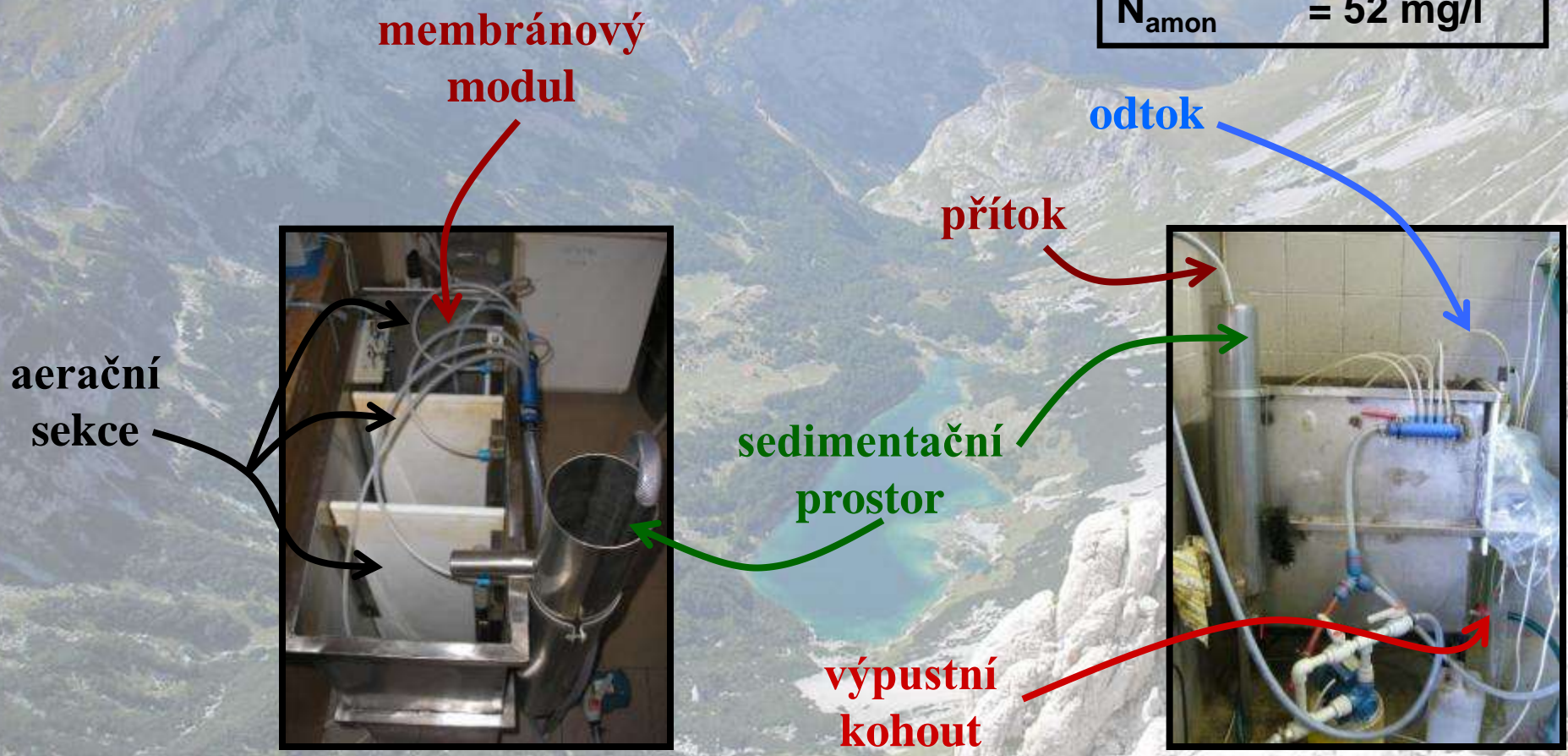
- ✓ **čištění průmyslových OV obsahujících biologicky těžko rozložitelné látky**
- ✓ **v místech, kde jsou ceny pozemků vysoké (rekreační oblasti, velkoměsta, atd.)**
- ✓ **při výstavbě čistírny, kde jsme limitováni velikostí parcely**
- ✓ **investice i provoz jednotky dotován z různých projektů EU**



Provozovaný model 21. 8. 2006 - 8. 1. 2007 (1. & 2. etapa)

- přítok : OV po mechanickém předčištění na česlích

Ø CHSK _{Cr}	= 390 mg/l
NL	= 179 mg/l
N _{amon}	= 52 mg/l



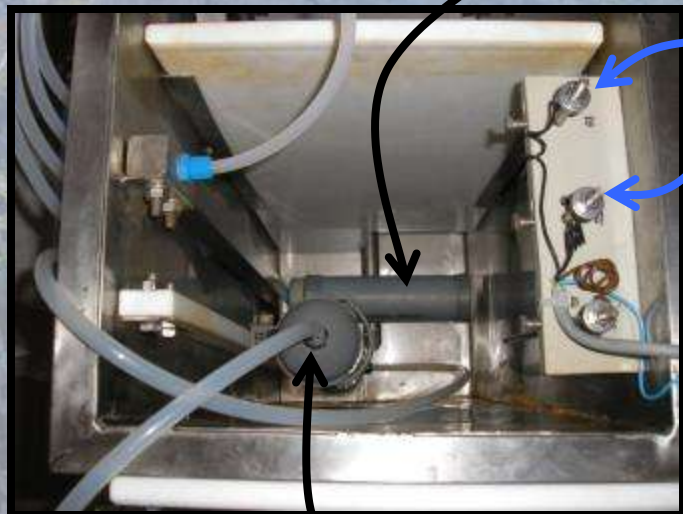
Provozovaný model

trubkový aerátor

sondy
regulující
přítok OV

modul z dutých
vláken

membránový
modul



typ membrány	dutá vlákna
materiál membrány	polyvinylidenfluorid
rozměr pórů	< 0.1 μm
objem modelu	130 l aktivace + 7,8 l sedimentační prostor
množství čerpané OV	128 l/d
hydraulická doba zdržení	cca 24 h
průtok	cca 5 - 5,5 l/h



Výsledky a diskuze

1. etapa (21. 8. 06 - 8. 11. 06)

- zapracování modelu, odstranění nedostatků → instalace delších sond + osazení přítok. čerpadla košem z pletiva + průtokoměr dimenzovaný na vysoký Q
- laboratoř: stanovení přítok. a odtok. parametrů, mikroskop. obraz, KI
- ↑ X na 6,7 g/l
- stáří AK cca 70 dní

↓ sondy



osazení přítokového čerpadla košem z pletiva



Výsledky a diskuze

2. etapa

(13. 11. 06 - 8. 1. 07)

- laboratoř: c (ECP), kinetické „batch“ testy, SI, anaerobní stabilizace AK
- $X = 5,5 - 6,5 \text{ g/l}$
- stáří AK cca 37 dní

3. etapa (10. 1. 07 -)

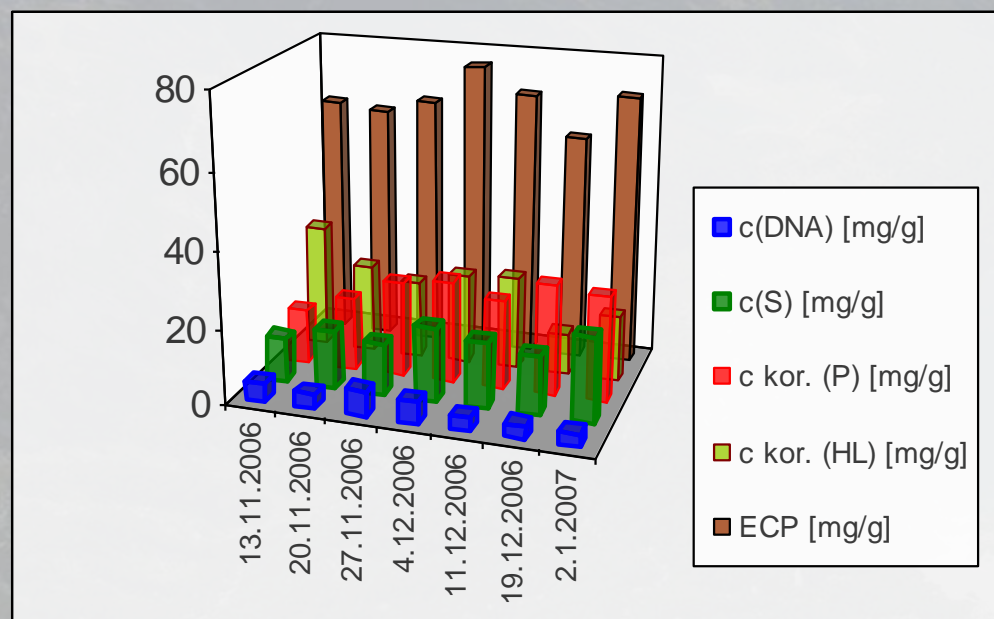
- regenerace membrány
- \uparrow průtoku, $X \rightarrow 10 \text{ g/l}$
- membránový modul před a po regeneraci



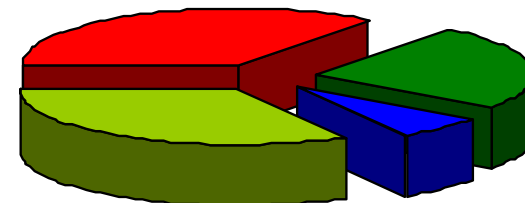
Stanovení koncentrace ECP



- produkt vločkovatelných mikroorganismů, slizová matrice, základ vloček
- množství ECP - vliv na zanášení mbr jednotek
- $c(\text{ECP}) = 59 - 79 \text{ mg/g}$ (získány teplotní extrakcí)



Zastoupení jednotlivých složek ECP



P - 36 %, HL - 33 %
S - 24 %, DNA - 7 %



SeparáčnÍ vlastnosti AK



KI

- poč. 1. etapy \uparrow KI až na cca 220 ml/g + vyčiřenÍ supernatantu, posléze pokles pod 200 ml/g \Rightarrow kal „lehký“
- 2. etapa: KI = 119 - 168 ml/g \Rightarrow kal „lehký“

SI

- 1. etapa: vizuální hodnocení % pokryvnosti hladiny pěnou = 15 - 100 % (výška pěny 0,5 - 20 cm)
- 2. etapa: + měření hodnoty SI (2 - 6 %) \Rightarrow AK s nízkým rozsahem separáčnÍch problémů



Mikroskopický obraz AK

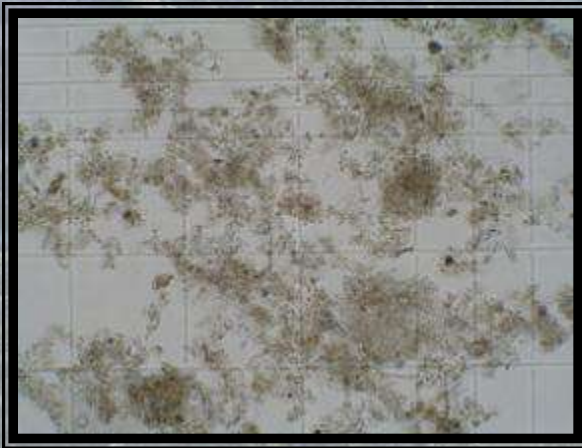
1. etapa

vložky malé, střední →
aglomeráty při c (AK) > 5 g/l



• charakter kalu, 125x, 5. 9. 06

• charakter kalu, 125x, 20. 11. 06



• charakter kalu, 125x, 23. 10. 06

2. etapa

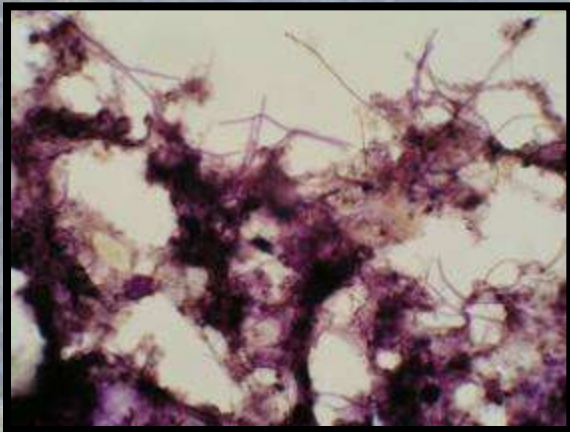
aglomeráty z cca 25 %



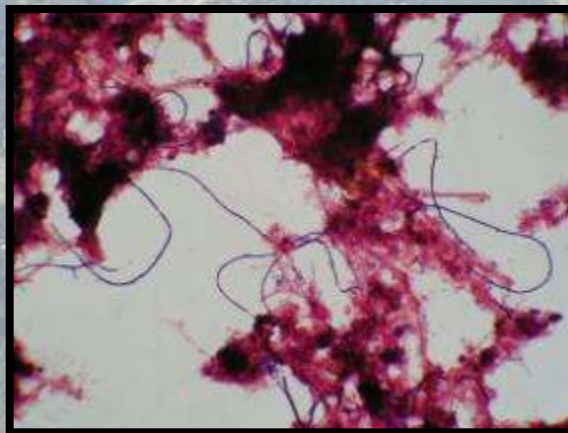
Mikroskopický obraz AK

vláknité mikroorganismy 1. etapa

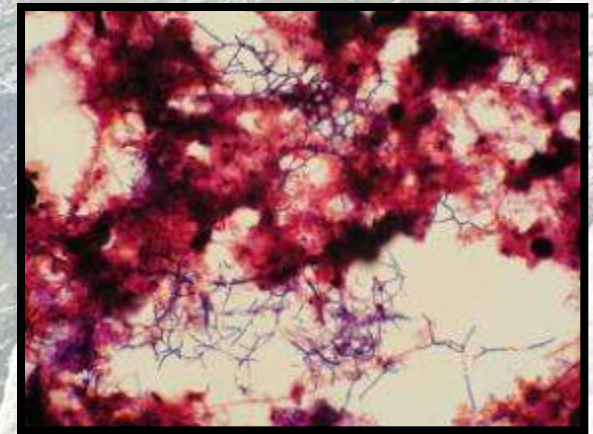
- celková četnost VMO: 4 → 5
- dominantní vlákna: Typ 0092 (nízkozatěžovaný aktivační systém)
- přechodně dominantní vlákna: *Microthrix parvicella*, GALO
- sekundární vlákna: Typ 0041/0675, Typ 1851



• NS, Typ 0092, 750x, 5. 9. 06



• GS, *Microthrix parvicella*, 750x, 30. 8. 06



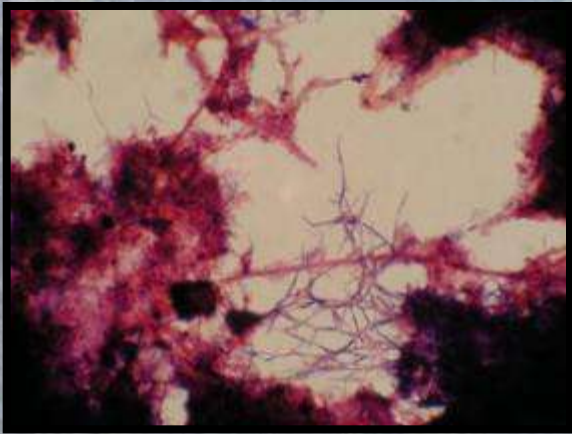
• GS, GALO, 750x, 25. 9. 06



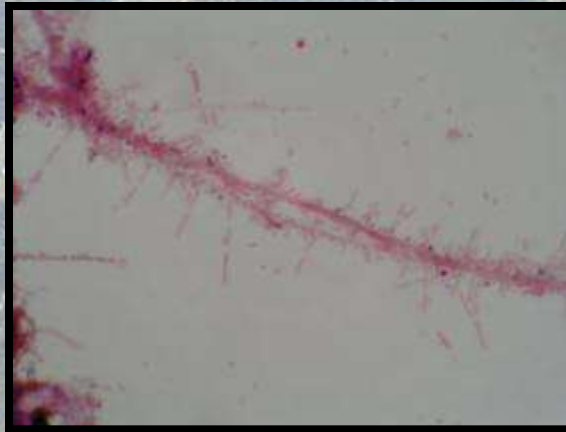
Mikroskopický obraz AK

vláknité mikroorganismy 2. etapa

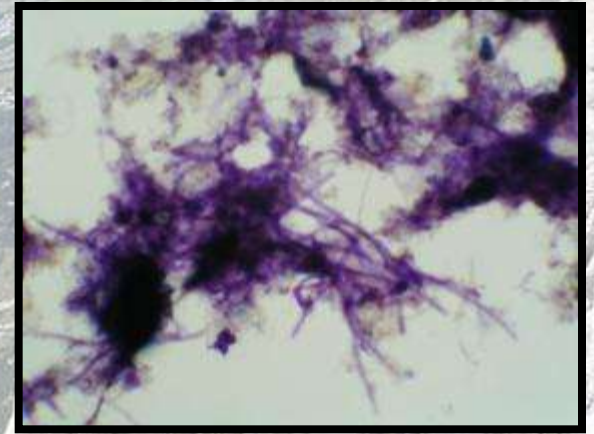
- celková četnost VMO: 5
- dominantní vlákna: Typ 0092
- přechodně dominantní vlákna: GALO
- sekundární vlákna: *Nostocoida limicola*, Typ 0041/0675



• GS, GALO, 1250x, 20. 11. 06



• GS, Typ 0041/0675, 1250x, 5. 12. 06



• NS, Typ 0092, 1250x, 19. 12. 06



Kvalita odtoku

Ø přítok. hodnoty [mg/l]	1. - 2. etapa
CHSK _{Cr}	392 (110 - 700)
ρ (N _{amon})	55
NL	179
pH	7,7

Ø Účinnost odstranění[%]	1. etapa	2. etapa
NL	100	100
N _{amon}	99	99
CHSK _{Cr}	86	95



odtok o vysoké kvalitě

Ø odtokové koncentrace [mg/l]	1. etapa	2. etapa
CHSK _{Cr}	40	17
ρ (N _{amon})	0,6	0,4
BSK ₅	-	2



Závěr

- NL zachyceny ze 100 %
- CHSK_{Cr} na odtoku po ustálení provozu v 2. etapě $< 25 \text{ mg/l}$,
($\bar{\text{CHSK}}_{\text{Cr}} = 17 \text{ mg/l}$)
- vysoká účinnost odstranění $\text{N}_{\text{amon}} > 98 \%$ v 2. etapě,
($\bar{\text{odtok. N}}_{\text{amon}} = 0,4 \text{ mg/l}$)

⇒ odtok vysoké kvality

- SI (2. etapa) = 2 - 6 % (nízký rozsah separačních problémů)
- KI (2 .etapa) = 119 - 168 ml/g (kal „lehký“)



Závěr

- **c (ECP) = 60 - 80 mg/g, dominantní složky: HL (33 %), P (36 %)**
- **celková četnost VMO (1. etapa): 4 → 5**
- **celková četnost VMO (2. etapa): 5**
- **dominantní vlákno: Typ 0092 (otevřená struktura vloček)**
- **přechodně dominantní: GALO, *Microthrix parvicella***



Děkuji Vám za pozornost

Autoři děkují firmě **Esox DPC spol. s r.o.** za zprostředkování zapůjčení membrány a výroby modelu,
dále společnosti **ENVI-PUR s.r.o.** za vyrobení modelu a
Siemens Water Technologies za dodání membránového modulu Memcor.

Výsledky byly získány v rámci řešení výzkumného záměru MSM6046137308.